



TRABALHO 1

Relatório do Trabalho 1 do Curso de Robótica
Universidade Federal do Rio de Janeiro
Campus Centro de Tecnologia

Yure Freitas Pereira de Souza - 122042647

Rio de Janeiro
27 de dezembro de 2025



Sumário

1 Denavit-Hartenberg do Braço Robótico KR30	1
2 Denavit-Hartenberg da Mesa Posicionadora DKP400	4
3 Denavit-Hartenberg do Sistema KR30-DKP400	6
4 Modelos para os Parâmetros de DH	8
4.1 Braço Robótico KR30	8
4.2 Mesa Posicionadora DKP400	8
4.3 Sistema KR30-DKP400	9
5 Validação dos Parâmetros de Denavit-Hartenberg	11
5.1 Validação	12
5.1.1 Código usado para simulação dos valores das juntas	13
6 Cinemática Inversa	15
6.1 Código Usado para Cálcular a Cinemática Inversa	17
7 Jacobiano	21
7.1 Implementação em Código	22
8 Validação do Jacobiano	24
8.1 Código usando para cálculo das velocidades pelo método das Transformações	24
9 Controle Cinemático	26
9.1 Controlador sem FeedForward	26
9.2 Controlador com FeedForward	27
9.3 Conclusão	29
9.4 Códigos para o Controle Cinemático	29
9.4.1 Cálculo das Tragetórias	29
9.4.2 Controlador	33



Listas de Figuras

Figura 1	Representação do Braço Robótico KR30 através do URDF	1
Figura 2	Representação do Braço Robótico KR30 através do DH	2
Figura 3	Representação da Mesa Posicionadora através do URDF	4
Figura 4	Representação da Mesa Posicionadora DKP400 através do DH	5
Figura 5	Representação do Sistema KR30-DKP400	6
Figura 6	Tragetórias no Espaço Operacional	26
Figura 7	Tragetórias	26
Figura 8	Resultado para Controlador sem FeedForward	27
Figura 9	Velocidade das Juntas sem FeedForward	27
Figura 10	Resultado para Controlador com FeedForward	28
Figura 11	Velocidade das Juntas com FeedForward	28



Listas de Tabelas

Tabela 1	URDF do Braço Robótico KR30	1
Tabela 2	DH do Braço Robótico KR30	2
Tabela 3	URDF da Mesa Posicionadora DKP400	4
Tabela 4	DH da Mesa Posicionadora DKP400	5
Tabela 5	DH do Sistema KR30-DKP400	7
Tabela 6	Waponts da Trajetoria	15
Tabela 7	θ para cada waypoint	16
Tabela 8	Posição e orientação para cada waypoint	16
Tabela 9	Erro para posição e orientação para cada waypoint ($\cdot 10^{-5}$)	17
Tabela 10	Velocidades pelo método do Jacobiano e pelo método das Transformações	24



1 Denavit-Hartenberg do Braço Robótico KR30

Para determinar os parâmetros de Denavit-Hartenberg do braço KR30, primeiro precisamos saber a posição do eixo de cada manipulador. Para isso, será utilizado os parâmetros de URDF para desenvolver uma representação do manipulador afim de ter uma visualização clara e simples do eixo de cada junta e em seguida, dispor os sistemas de coordenadas seguindo os critérios de DH.

Na tabela abaixo se encontra os parâmetros de URDF obtidos dos arquivos *kr30.urdf* e *torch_fronius_kr30.urdf*:

Junta	Pai	Filho	xyz	rpy	Tipo	Eixo
0	world	0	0, 0, 0	0, 0, 0	fixo	-
1	0	1	0, 0, 0.575	0, 0, 0	R	0, 0, -1
2	1	2	0.175, 0, 0	0, 0, 0	R	0, 1, 0
3	2	3	0.89, 0, 0	0, 0, 0	R	0, 1, 0
4	3	4	0, 0, 0.05	0, 0, 0	R	-1, 0, 0
5	4	5	1.035, 0, 0	0, 0, 0	R	0, 1, 0
6	5	6	0.185, 0, 0	0, $\frac{\pi}{2}$, 0	R	0, 0, -1
torch	6	t	0.000361, 0, 0.461877	0, 33.86°, 0	fixo	0, 0, -1

Tabela 1: URDF do Braço Robótico KR30

Com base nesses dados montamos uma representação visual do manipulador usando figuras simples, assumindo que o sistema de coordenadas de cada junta se encontra extamente no seu centro.

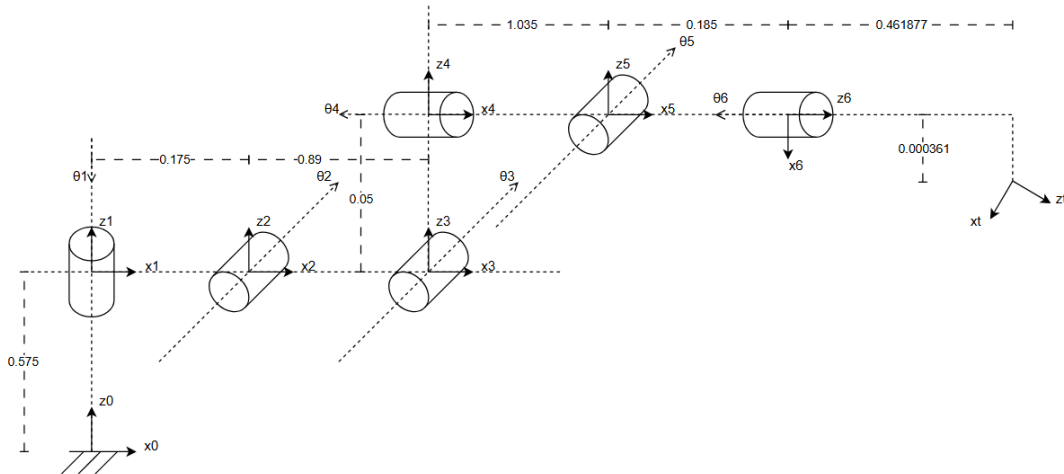
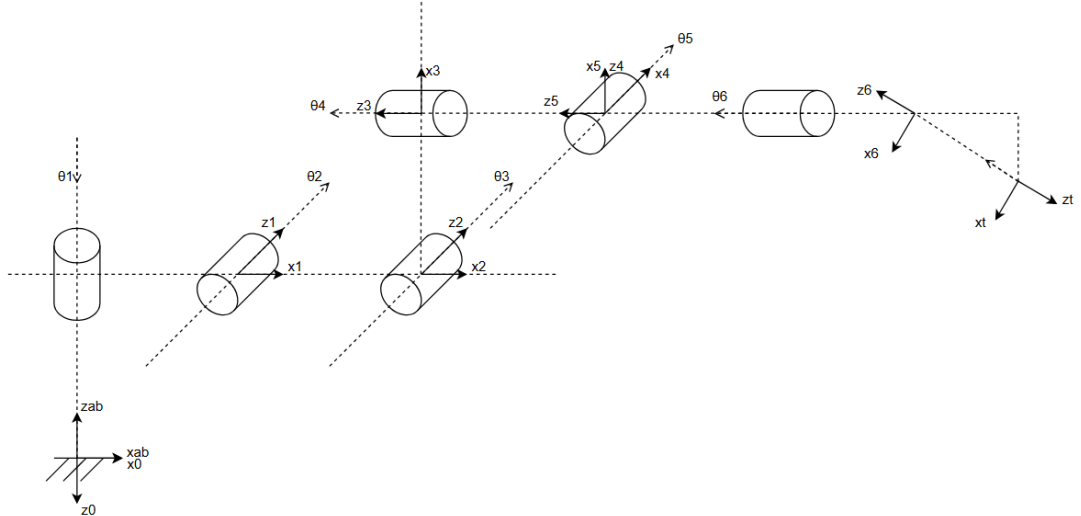


Figura 1: Representação do Braço Robótico KR30 através do URDF



A partir dessa representação e com base nos criterios de DH Standart para os sistemas de coordenadas, organização os sistemas do manipulador indicados na figura a seguir.



Ativar

Figura 2: Representação do Braço Robótico KR30 através do DH

Onde, através dela recolhemos os parâmetros de Denavit-Hartenberb para o braço KR30 e as transformações homogêneas do elo 0 em relação à base (T_0^{ab}) e do efetuador em relação ao elo 6 (T_t^6).

Elo	θ	d	a	α	Tipo	Offset
1	θ_1	-0.575	0.175	$\frac{\pi}{2}$	R	0
2	θ_2	0	0.89	0	R	0
3	θ_3	0	0.05	$\frac{\pi}{2}$	R	$-\frac{\pi}{2}$
4	θ_4	-1.035	0	$-\frac{\pi}{2}$	R	0
5	θ_5	0	0	$\frac{\pi}{2}$	R	0
6	θ_6	d_{6DH}	0	-33.86°	R	$-\frac{\pi}{2}$

Tabela 2: DH do Braço Robótico KR30

$$T_0^{ab} = \begin{bmatrix} 1 & 0 & 0 & 0 \\ 0 & -1 & 0 & 0 \\ 0 & 0 & -1 & 0 \\ 0 & 0 & 0 & 1 \end{bmatrix} \quad T_t^6 = \begin{bmatrix} 0 & -1 & 0 & 0 \\ -1 & 0 & 0 & 0 \\ 0 & 0 & -1 & z_{6t} \\ 0 & 0 & 0 & 1 \end{bmatrix}$$



Sendo:

$$d_{6Dh} = \frac{0.000361}{tg(33.86^\circ)} - 0.461877 - 0.185 \quad (1)$$

$$z_{6t} = -\frac{0.000361}{sen(33.86^\circ)} \quad (2)$$



2 Denavit-Hartenberg da Mesa Posicionadora DKP400

O mesmo processo foi feito para a mesa posicionadora usado os dados recolhidos do arquivo *dkp400.urdf*, que podem ser vistos na tabela abaixo.

Junta	Pai	Filho	xyz	rpy	Tipo	Eixo
0	world	0	0, 0, 0	0, 0, 0	fixo	-
1	0	1	0, 0, 0.51	0, 0, π	R	-1, 0, 0
2	1	2	0, 0, 0.347	0, 0, 0	R	0, 0, 1
tool	2	tool	0, 0, 0	0, 0, 0	fixo	-

Tabela 3: URDF da Mesa Posicionadora DKP400

Com esses dados temos a representação dos sistemas de coordenadas.

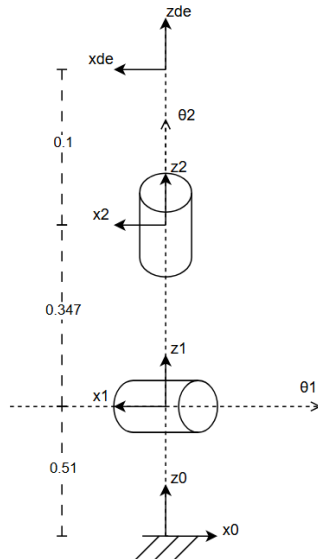


Figura 3: Representação da Mesa Posicionadora através do URDF

E a partir deles fizemos a distribuição dos sistemas de coordenadas seguindo os critérios de DH Standard.

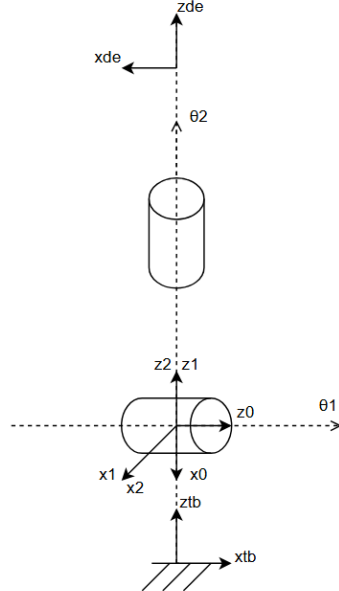


Figura 4: Representação da Mesa Posicionadora DKP400 através do DH

Com eles é possível recolher os parâmetros de DH e as transformações homogêneas do elo 0 em relação à base (T_0^{tb}) e da superfície da mesa em relação ao elo 2 (T_{de}^2), como pode ser observado na tabela a seguir.

Elo	θ	d	a	α	Tipo	Offset
1	θ_1	0	0	$\frac{\pi}{2}$	R	$-\frac{\pi}{2}$
2	θ_2	0	0	0	R	0

Tabela 4: DH da Mesa Posicionadora DKP400

$$T_0^{tb} = \begin{bmatrix} 0 & 0 & 1 & 0 \\ 0 & 1 & 0 & 0 \\ -1 & 0 & 0 & 0.51 \\ 0 & 0 & 0 & 1 \end{bmatrix} \quad T_{de}^2 = \begin{bmatrix} 0 & 1 & 0 & 0 \\ -1 & 0 & 0 & 0 \\ 0 & 0 & 1 & 0.447 \\ 0 & 0 & 0 & 1 \end{bmatrix}$$



3 Denavit-Hartenberg do Sistema KR30-DKP400

Para os parâmetros de Denavit-Hartenberg do sistema braço-mesa KR30-DKP400, utilizamos as representações de cada sistema individual e a transformação homogênea da base da mesa em relação a base do braço para desenvolvemos uma representação do sistema conjunto.

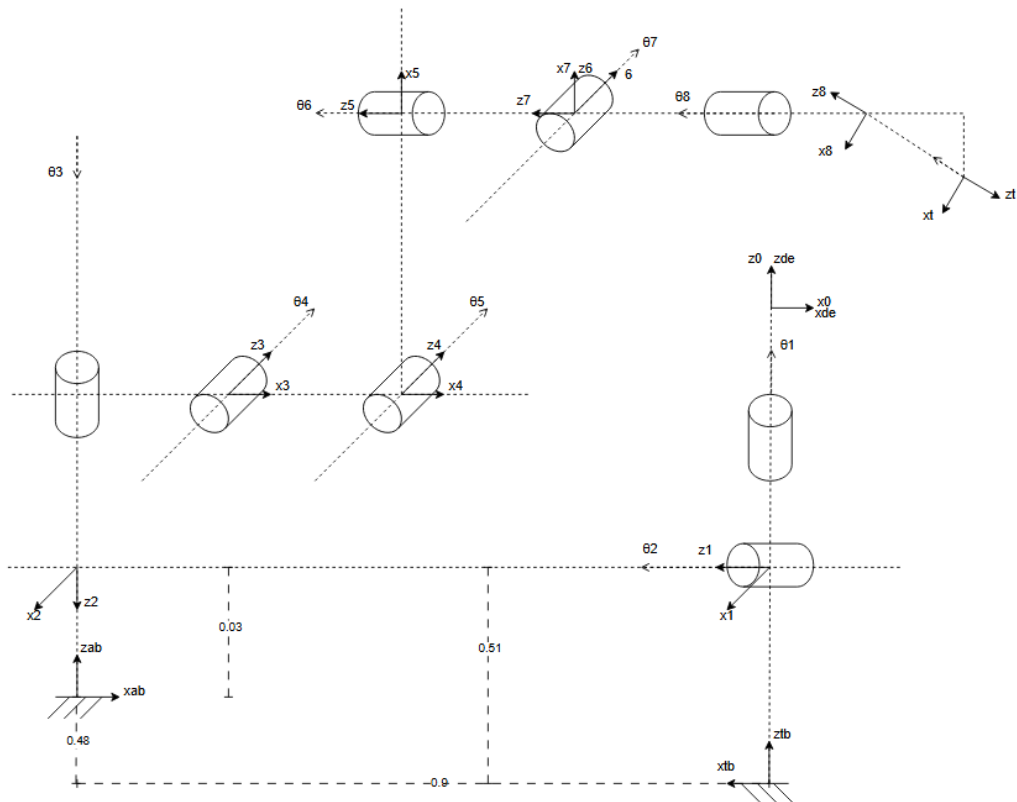


Figura 5: Representação do Sistema KR30-DKP400

Com base nessa representação, retiramos os parâmetros de DH do sistema de coordenadas do efetuador do braço em relação ao efetuador da mesa, seguindo os criterios de DH Standard para a alocação dos sistemas de coordenadas, resultando na tabela abaixo.



Elo	θ	d	a	α	Tipo	Offset
1	θ_1	-0.447	0	$\frac{\pi}{2}$	R	$-\frac{\pi}{2}$
2	θ_2	0.9	0	$\frac{\pi}{2}$	R	0
3	θ_3	0.545	0.175	$\frac{\pi}{2}$	R	$-\frac{\pi}{2}$
4	θ_4	0	0.89	0	R	0
5	θ_5	0	0.05	$\frac{\pi}{2}$	R	$-\frac{\pi}{2}$
6	θ_6	-1.035	0	$-\frac{\pi}{2}$	R	0
7	θ_7	0	0	$\frac{\pi}{2}$	R	0
8	θ_8	d_{6DH}	0	-33.86°	R	$-\frac{\pi}{2}$

Tabela 5: DH do Sistema KR30-DKP400

$$T_0^{de} = \begin{bmatrix} 1 & 0 & 0 & 0 \\ 0 & 1 & 0 & 0 \\ 0 & 0 & 1 & 0 \\ 0 & 0 & 0 & 1 \end{bmatrix} \quad T_t^8 = \begin{bmatrix} 0 & -1 & 0 & 0 \\ -1 & 0 & 0 & 0 \\ 0 & 0 & -1 & z_{8t} \\ 0 & 0 & 0 & 1 \end{bmatrix}$$

Sendo $z_{8t} = z_{6t}$ da equação 2.



4 Modelos para os Parâmetros de DH

4.1 Braço Robótico KR30

```
1 clear; clc; close all;
2
3 % Definição dos elos (DH Standard)
4 L(1) = Link('d', -0.575, 'a', 0.175, 'alpha', pi/2, 'offset', 0);
5 L(2) = Link('d', 0, 'a', 0.89, 'alpha', 0, 'offset', 0);
6 L(3) = Link('d', 0, 'a', 0.05, 'alpha', pi/2, 'offset', -pi/2);
7 L(4) = Link('d', -1.035, 'a', 0, 'alpha', -pi/2, 'offset', 0);
8 L(5) = Link('d', 0, 'a', 0, 'alpha', pi/2, 'offset', 0);
9 L(6) = Link('d', -0.646339, 'a', 0, 'alpha', -deg2rad(33.89), 'offset', -pi/2);

10
11 % Criação do robô
12 robot = SerialLink(L, 'name', 'KR30');
13
14 % Transformação Base -> Frame 0
15 robot.base = transl(0.0, 0.0, 0.0) * trotx(pi);
16
17 % Transformação Elo final -> Efetuador
18 robot.tool = transl(0, 0, -0.000648) * (trotx(-pi)*trotz(pi/2));
19
20 % Configuração das juntas
21 q = [0 0 0 0 0 0];
22
23 T = robot.fkine(q);
24
25 % Plot
26 robot.plot(q);
27 robot.teach;
```

4.2 Mesa Posicionadora DKP400

```
1 clear; clc; close all;
2
3 % Definição dos elos (DH Standard)
4 L(1) = Link('d', 0, 'a', 0, 'alpha', pi/2, 'offset', -pi/2);
```



```
5 L(2) = Link('d', 0, 'a', 0, 'alpha', 0, 'offset', 0);
6
7 % Criação do robô
8 robot = SerialLink(L, 'name', 'DKP400');
9
10 % Transformação Base -> Frame 0
11 robot.base = transl(0.0, 0.0, 0.51) * trotz(pi/2);
12
13 % Transformação Elo final -> Efetuador
14 robot.tool = transl(0, 0, 0.447) * trotz(-pi/2);
15
16 % Configuração das juntas
17 q = [0 0];
18
19 T = robot.fkine(q);
20
21 % Plot
22 robot.plot(q);
23 robot.teach;
```

4.3 Sistema KR30-DKP400

```
1 clear; clc; close all;
2
3 % Definição dos elos (DH Standard)
4 % Elos da mesa
5 L(1) = Link('d', -0.447, 'a', 0, 'alpha', pi/2, 'offset', -pi/2);
6 L(2) = Link('d', 0.9, 'a', 0, 'alpha', pi/2, 'offset', 0);
7 % Elos do braço
8 L(3) = Link('d', -0.545, 'a', 0.175, 'alpha', pi/2, 'offset', -pi/2);
9 L(4) = Link('d', 0, 'a', 0.89, 'alpha', 0, 'offset', 0);
10 L(5) = Link('d', 0, 'a', 0.05, 'alpha', pi/2, 'offset', -pi/2);
11 L(6) = Link('d', -1.035, 'a', 0, 'alpha', -pi/2, 'offset', 0);
12 L(7) = Link('d', 0, 'a', 0, 'alpha', pi/2, 'offset', 0);
13 L(8) = Link('d', -0.646339, 'a', 0, 'alpha', -deg2rad(33.89), 'offset', -pi/2);
14
15 % Criação do robô
```



```
16 robot = SerialLink(L, 'name', 'KR30-DKP400');
17
18 % Transformação Base -> Frame 0
19 robot.base = transl(0.0, 0.0, 0.0) * trotx(0);
20
21 % Transformação Eixo final -> Efetuador
22 robot.tool = transl(0, 0, -0.000648) * (trotx(-pi)*trotz(pi/2));
23
24 % Configuração das juntas
25 q = [0 0 0 0 0 0 0];
26
27 T = robot.fkine(q);
28
29 % Plot
30 robot.plot(q);
31 robot.teach;
```



5 Validação dos Parâmetros de Denavit-Hartenberg

Para validar os modelos de DH que desenvolvemos no anteriormente, iremos comparar os valores de posição e orientação de cada modelo com a sua respectiva transformação homogênea, feita a partir dos parâmetros de URDF.

Então geramos quatro valores aleatórios para cada junta dos dois sistemas, dentro do limite estabelecido nos arquivos *kr30.urdf* e *dkp400.urdf*, tem-se as seguintes inclinações das juntas, em radiano:

$$\theta_{braço}^T = \begin{bmatrix} -1.2764 & 0.6857 & -1.7073 & 0.3506 & 0.7602 & 1.3329 \\ -0.2073 & -2.9612 & -2.0336 & -2.1091 & -1.3828 & -3.7221 \\ -0.4974 & -1.8194 & 0.5113 & -1.3379 & 1.5663 & -1.6302 \\ -2.4928 & 0.1397 & 2.1512 & 0.1646 & -0.4733 & 3.7511 \end{bmatrix}$$

$$\theta_{mesa}^T = \begin{bmatrix} -0.4612 & -1.4962 \\ -1.3348 & -1.3143 \\ 1.3745 & -1.2494 \\ 1.479 & 0.3826 \end{bmatrix}$$

Usando esses valores nos modelos gerados pelos parâmetros de DH resulta nos seguintes valores de posição (em metros) e orientação (em graus) $[x \ y \ z \ \phi \ \theta \ \psi]^T$, do efetuador em relação a base:

$$\text{Braço: } \begin{bmatrix} x \\ y \\ z \\ \phi \\ \theta \\ \psi \end{bmatrix} = \begin{bmatrix} 0.716 \\ 1.834 \\ 1.102 \\ -13.1 \\ 63.2 \\ -62.8 \end{bmatrix}, \begin{bmatrix} -0.518 \\ -0.666 \\ -0.452 \\ 130.7 \\ 39.6 \\ 83.4 \end{bmatrix}, \begin{bmatrix} -0.018 \\ 0.706 \\ 2.414 \\ -155.2 \\ -47.3 \\ -79.2 \end{bmatrix}, \begin{bmatrix} -0.229 \\ 0.113 \\ -0.985 \\ 174.9 \\ -25.0 \\ 164.9 \end{bmatrix}$$

$$\text{Mesa: } \begin{bmatrix} x \\ y \\ z \\ \phi \\ \theta \\ \psi \end{bmatrix} = \begin{bmatrix} 0.000 \\ 0.199 \\ 0.910 \\ 94.3 \\ 0.0 \\ -26.4 \end{bmatrix}, \begin{bmatrix} 0.000 \\ 0.435 \\ 0.615 \\ 104.7 \\ 0.0 \\ -76.5 \end{bmatrix}, \begin{bmatrix} 0.000 \\ -0.438 \\ 0.597 \\ 108.4 \\ 0.0 \\ 78.8 \end{bmatrix}, \begin{bmatrix} 0.000 \\ -0.445 \\ 0.551 \\ -158.1 \\ 0.0 \\ 84.7 \end{bmatrix}$$



Braço-Mesa:

$$\begin{bmatrix} x \\ y \\ z \\ \phi \\ \theta \\ \psi \end{bmatrix} = \begin{bmatrix} -0.579 \\ -0.753 \\ 1.462 \\ -49.4 \\ 46.2 \\ 53.2 \end{bmatrix}, \begin{bmatrix} -0.042 \\ 1.448 \\ -1.214 \\ -136.5 \\ -24.9 \\ -142.4 \end{bmatrix}, \begin{bmatrix} 1.821 \\ -1.298 \\ 0.976 \\ -67.3 \\ -13.4 \\ 46.3 \end{bmatrix}, \begin{bmatrix} 0.170 \\ -1.149 \\ -1.430 \\ 107.9 \\ 30.4 \\ 147.0 \end{bmatrix}$$

5.1 Validação

Através dos parâmetros de URDF, obtemos a transformação homogênea entre cada uma das juntas, da base até o efetuador, tanto do sistema do braço quanto do sistema da mesa. Com elas tem-se a T_{0e} , a transformação homogênea do efetuador em relação a base.

Aplicando os valores de $\theta_{braço}$ e θ_{mesa} em suas respectivas transformações:

Braço:

$$\begin{bmatrix} x \\ y \\ z \\ \phi \\ \theta \\ \psi \end{bmatrix} = \begin{bmatrix} 0.7165 \\ 1.8342 \\ 1.1016 \\ -13.0847 \\ 63.2236 \\ -62.7993 \end{bmatrix}, \begin{bmatrix} -0.5175 \\ -0.6663 \\ -0.4521 \\ 130.6580 \\ -39.5718 \\ 83.3866 \end{bmatrix}, \begin{bmatrix} -0.0182 \\ 0.7064 \\ 2.4143 \\ -155.1732 \\ -47.3303 \\ -79.2455 \end{bmatrix}, \begin{bmatrix} -0.2290 \\ 0.1127 \\ -0.9846 \\ 174.9123 \\ -24.9605 \\ 164.8666 \end{bmatrix}$$

Mesa:

$$\begin{bmatrix} x \\ y \\ z \\ \phi \\ \theta \\ \psi \end{bmatrix} = \begin{bmatrix} 0.0000 \\ 0.1989 \\ 0.9103 \\ 94.2741 \\ 0.0000 \\ -26.4248 \end{bmatrix}, \begin{bmatrix} 0.0000 \\ 0.4346 \\ 0.6145 \\ 104.6962 \\ 0.0000 \\ -76.4784 \end{bmatrix}, \begin{bmatrix} 0.0000 \\ -0.4384 \\ 0.5972 \\ 108.4147 \\ 0.0000 \\ 78.7530 \end{bmatrix}, \begin{bmatrix} 0.0000 \\ -0.4451 \\ 0.5510 \\ -158.0786 \\ 0.0000 \\ 84.7405 \end{bmatrix}$$

Comparando os dois resultados para cada um dos sistemas, nota-se que eles são iguais, considerando que as pequenas diferenças decorrem do arredondamento feito pelo modelo de DH. Com isso, concluimos que o modelo de DH é valido.



5.1.1 Código usado para simulação dos valores das juntas

- Braço KR30:

```
1 clear; clc; close all;
2
3 q = [ ];
4
5 % Transformação junta 0 -> junta 1
6 T01 = transl(0.0, 0.0, 0.575) * trotz(-q(1));
7 % Transformação junta 1 -> junta 2
8 T12 = transl(0.175, 0.0, 0.0) * trotz(q(2));
9 % Transformação junta 2 -> junta 3
10 T23 = transl(0.89, 0.0, 0.0) * trotz(q(3));
11 % Transformação junta 3 -> junta 4
12 T34 = transl(0.0, 0.0, 0.05) * trotx(-q(4));
13 % Transformação junta 4 -> junta 5
14 T45 = transl(1.035, 0.0, 0.0) * trotz(q(5));
15 % Transformação junta 5 -> junta 6
16 T56 = transl(0.185, 0.0, 0.0) * (trotz(pi/2)*trotz(-q(6)));
17 % Transformação junta 6 -> efetuador
18 T6t = transl(0.000361, 0.0, 0.461877) * trotz(deg2rad(33.89));
19
20 T0t = T01 * T12 * T23 * T34 * T45 * T56 * T6t;
21
22 % XYZ
23 x = T0t(1,4);
24 y = T0t(2,4);
25 z = T0t(3,4);
26
27 % Extrai matriz de rotação
28 R = T0t(1:3, 1:3);
29
30 % Cálculo RPY
31 pitch = asin(R(1,3));
32 yaw   = atan2(-R(2,3), R(3,3));
33 roll   = atan2(-R(1,2), R(1,1));
```



- Mesa DKP400:

```
1 clear; clc; close all;
2
3 q = [ ];
4
5 % Transformação junta 0 -> junta 1
6 T01 = transl(0.0, 0.0, 0.51) * (trotz(pi)*trotx(-q(1)));
7 % Transformação junta 1 -> junta 2
8 T12 = transl(0.0, 0.0, 0.347) * trotz(q(2));
9 % Transformação junta 2 -> efetuador
10
11 T2de = transl(0.0, 0.0, 0.1);
12
13 T0de = T01 * T12 * T2de;
14
15 % XYZ
16 x = T0de(1,4);
17 y = T0de(2,4);
18 z = T0de(3,4);
19
20 % Extrai matriz de rotação
21 R = T0de(1:3, 1:3);
22
23 % Cálculo RPY
24 pitch = asin(R(1,3));
25 yaw = atan2(-R(2,3), R(3,3));
26 roll = atan2(-R(1,2), R(1,1));
```



6 Cinemática Inversa

Para o cálculo de cinemática inversa usaremos a função *ikine()* do *robot toolbox*, onde trabalharemos com os seguintes parametros:

- Td: transformação homogênea desejada, do efetuador do braço em relação ao efetuador da mesa;
- q_0 : valor inicial de inclinação de cada uma das juntas do sistema;
- mask: máscara, define a importância de cada valor de posição e orientação $[x \ y \ z \ \theta \ \psi]^T$ para o resultado desejado;
- tol: tolerância para o erro;
- lambda: amortecimento numérico.

Para este caso, deseja-se seguir uma trajetória em zigzag, mantendo uma orientação fixa de π em roll e $\frac{\pi}{2}$ em yaw:

Waypoint	Posição p_{dt}
1	$[0.04, 0, 0]^T$
2	$[-0.04, 0, 0]^T$
3	$[-0.04, 0.01, 0]^T$
4	$[0.04, 0.01, 0]^T$
5	$[0.04, 0.02, 0]^T$
6	$[-0.04, 0.02, 0]^T$
7	$[-0.04, 0.03, 0]^T$
8	$[0.04, 0.03, 0]^T$
9	$[0.04, 0.04, 0]^T$
10	$[-0.04, 0.04, 0]^T$

Tabela 6: Waponts da Trajetória

Inicialmente precisamos definir o modelo do manipulador, que seria o modelo do sistema braço-mesa KR30-DKP400, apresentado na seção 4.3. Entretanto, temos que as inclinações juntas da mesa são constantes, ou seja, não precisamos nos preocupar com a cinemática inversa dessas juntas.



Com isso, podemos usar o modelo do braço KR30, apresentado na seção 4.1, e definir a transformação $.base$ como sendo a transformação do elo 0 do braço em relação ao efetuador da mesa, usando o modelo da mesa apresentado na seção 4.2, com angulos das juntas fixos, a transformação do elo 0 do braço em relação a sua base e a transformação da base da mesa em relação a base do braço.

Com essas configurações chegamos aos seguintes angulos (em radianos) das juntas do braço:

Waypoint	θ_1	θ_2	θ_3	θ_4	θ_5	θ_6
1	-0.7911	1.1134	-1.7997	1.9726	2.2941	-0.8118
2	-0.8355	1.1611	-1.8709	2.0332	2.3152	-0.7640
3	-0.8392	1.1623	-1.8633	2.0294	2.3216	-0.7730
4	-0.7948	1.1145	-1.7923	1.9689	2.3001	-0.8209
5	-0.7985	1.1155	-1.7847	1.9651	2.3061	-0.8301
6	-0.8428	1.1634	-1.8556	2.0255	2.3280	-0.7822
7	-0.8464	1.1643	-1.8478	2.0215	2.3344	-0.7913
8	-0.8021	1.1164	-1.7771	1.9611	2.3120	-0.8393
9	-0.8057	1.1173	-1.7693	1.9570	2.3179	-0.8486
10	-0.8500	1.1652	-1.8399	2.0173	2.3407	-0.8006

Tabela 7: θ para cada waypoint

Para essas configurações de θ teremos os seguintes valores para posição (em metros) e orientação (em graus):

Waypoint	x	y	z	ϕ	θ	ψ
1	0.0400	0.0000	0.0000	180.0000	0.0000	90.0000
2	-0.0400	0.0000	0.0000	180.0000	0.0000	90.0000
3	-0.0400	0.0100	0.0000	180.0000	0.0000	90.0000
4	0.0400	0.0100	0.0000	180.0000	0.0000	90.0000
5	0.0400	0.0200	0.0000	180.0000	0.0000	90.0000
6	-0.0400	0.0200	0.0000	180.0000	0.0000	90.0000
7	-0.0400	0.0300	0.0000	180.0000	0.0000	90.0000
8	0.0400	0.0300	0.0000	180.0000	0.0000	90.0000
9	0.0400	0.0400	0.0000	180.0000	0.0000	90.0000
10	-0.0400	0.0400	0.0000	180.0000	0.0000	90.0000

Tabela 8: Posição e orientação para cada waypoint

Possuindo um erro ($\Delta valor = valor_{desejado} - valor_{obtido}$) de:



Waypoint	Δx	Δy	Δz	$\Delta \phi$	$\Delta \theta$	$\Delta \psi$
1	-0.0008	-0.0009	0.0006	0.0252	0.0042	0.0275
2	-0.0010	-0.0012	0.0010	0.0388	0.0042	0.0295
3	-0.0015	-0.0016	0.0010	0.0425	0.0084	0.0434
4	0.0005	0.0000	0.0012	0.0492	-0.0081	-0.0101
6	0.0044	0.0031	0.0039	0.1459	-0.0406	-0.1285
7	-0.0013	-0.0015	0.0012	0.0501	0.0057	0.0370
8	0.0000	-0.0005	0.0019	0.0719	-0.0058	0.0024
9	0.0252	0.0190	0.0173	0.6422	-0.2156	-0.7170
10	0.0003	0.0003	0.0000	0.0009	-0.0030	-0.0095
1	0.0042	0.0030	0.0061	0.2154	-0.0388	-0.1277

Tabela 9: Erro para posição e orientação para cada waypoint ($\cdot 10^{-5}$)

6.1 Código Usado para Cálcular a Cinemática Inversa

```

1 clear; clc; close all;
2
3 % Definição dos elos da mesa (DH Standard)
4 Lt(1) = Link('d', 0, 'a', 0, 'alpha', pi/2, 'offset', -pi/2);
5 Lt(2) = Link('d', 0, 'a', 0, 'alpha', 0, 'offset', 0);
6
7 % Criação da mesa
8 DKP400 = SerialLink(Lt, 'name', 'DKP400');
9
10 % Transformação Base -> Frame 0
11 DKP400.base = transl(0.0, 0.0, 0.51) * trotz(pi/2);
12
13 % Transformação Elo final -> Efetuador
14 DKP400.tool = transl(0, 0, 0.447) * trotz(-pi/2);
15
16 % Configuração das juntas da mesa
17 theta_t = [pi/4 0];
18
19 Ttb_de = DKP400.fkine(theta_t);
20
21 % Transformação Base do Braço -> Base da Mesa
22 Tab_tb = transl(0.9, 0, -0.48) * trotz(pi);
23 Tab_tb = SE3(Tat_tb);

```



```
24
25 % Transformação Base do Braço -> Efetuador da Mesa
26 Tab_de = Tab_tb * Ttb_de;
27
28 % Transformação Efetuador da Mesa -> Base do Braço
29 Rab_de = Tab_de.R;
30 pab_de = Tab_de.t;
31
32 Tab_de_inv = [Rab_de.' -Rab_de.*pab_de;
33             0 0 0  1];
34
35 % Definição dos elos do braço (DH Standard)
36 La(1) = Link('d', -0.575, 'a', 0.175, 'alpha', pi/2, 'offset', 0);
37 La(2) = Link('d', 0, 'a', 0.89, 'alpha', 0, 'offset', 0);
38 La(3) = Link('d', 0, 'a', 0.05, 'alpha', pi/2, 'offset', -pi/2);
39 La(4) = Link('d', -1.035, 'a', 0, 'alpha', -pi/2, 'offset', 0);
40 La(5) = Link('d', 0, 'a', 0, 'alpha', pi/2, 'offset', 0);
41 La(6) = Link('d', -0.646339, 'a', 0, 'alpha', -deg2rad(33.89), 'offset', -pi/2);
42
43 % Criação do braço
44 KR30 = SerialLink(La, 'name', 'KR30');
45
46 % Transformação Efetuador da Mesa -> Frame 0
47 KR30.base = Tade_inv * (transl(0.0, 0.0, 0.0) * trotx(pi));
48
49 % Transformação Elo final -> Efetuador
50 KR30.tool = transl(0, 0, -0.000648) * (trotx(-pi)*trotz(pi/2));
51
52 =====
53 % Cinemática inversa
54 =====
55
56 p = [ 0.04 0 0;
57       -0.04 0 0;
58       -0.04 0.01 0;
59       0.04 0.01 0;
60       0.04 0.02 0;
```



```
61      -0.04 0.02 0;
62      -0.04 0.03 0;
63      0.04 0.03 0;
64      0.04 0.04 0;
65      -0.04 0.04 0 ];
66
67 R = trotz(pi/2) * trotx(pi);
68 Td = zeros(4, 4, size(p,1));
69
70 for i = 1:size(p,1)
71     Td(:,:,i) = transl(p(:,i)) * R;
72 end
73
74 mask = [1 1 1 1 1 1];
75
76 tol = 1e-6;
77
78 lambda = 1;
79
80 q_sol = zeros(size(p,1), 6);
81
82 % chute inicial
83 q0 = zeros(1,6);
84
85 for i = 1:size(p,1)
86     q = KR30.ikine(Td(:,:,i), q0, 'mask', mask, 'tol', tol, 'lambda', lambda);
87
88     q_sol(i,:) = q;
89
90     q0 = q;
91 end
92
93 xyz = zeros(size(q_sol,1), 3);
94 rpy = zeros(size(q_sol,1), 3);
95
96 for i = 1:size(q_sol,1)
97     T = KR30.fkine(q_sol(i,:));
```



```
98      xyz(i,:)=T.t';  
99      rpy(i,:)=rad2deg(tr2rpy(T));  
100    end
```



7 Jacobiano

Para sabermos o jacobiano do efetuador do braço em relação ao efetuador da mesa (J_t^{de}), usaremos a relação das velocidades, onde a velocidade relativa é igual à diferença entre a velocidade do efetuador braço e a velocidade do efetuador da mesa, ou seja:

$$V_t^{de} = (V_t^{de})_{braço} - (V_{de}^{de})_{mesa} \quad (3)$$

Onde, sabendo os jacobianos dos efetuadores em relação às suas bases (J_{de}^{tb} e J_t^{ab}), usaremos:

$$(V_t^{de})_{braço} = Ad_{T_{ab}^{de}} J_t^{ab} \dot{\theta}_{braço} \quad (4)$$

$$(V_{de}^{de})_{mesa} = Ad_{T_{tb}^{de}} J_{de}^{tb} \dot{\theta}_{mesa} \quad (5)$$

Como já sabemos T_{de}^{tb} , fica mais fácil encontrar $(V_{de}^{de})_{mesa}$ pois, $Ad_{T_{tb}^{de}} = Ad_{(T_{de}^{tb})^{-1}}$, ou seja.

$$(V_{de}^{de})_{mesa} = Ad_{(T_{de}^{tb})^{-1}} J_{de}^{tb} \dot{\theta}_{mesa} \quad (6)$$

Porém, para sabermos o $(V_t^{de})_{braço}$, primeiro precisamos encontrar a transformação da base do braço em relação ao efetuador da mesa (T_{ab}^{de}), para isso usamos a transformações da base do braço em relação à base da mesa (T_{ab}^{tb}) e da base da mesa em relação ao efetuador da mesa (T_{tb}^{de}) da seguinte forma:

$$T_{ab}^{de} = T_{tb}^{de} T_{ab}^{tb} \quad (7)$$

Onde, $T_{tb}^{de} = (T_{de}^{tb})^{-1}$ e $T_{ab}^{tb} = (T_{tb}^{ab})^{-1}$, ou seja:

$$T_{ab}^{de} = (T_{de}^{tb})^{-1} (T_{tb}^{ab})^{-1} = (T_{tb}^{ab} T_{de}^{tb})^{-1} \quad (8)$$

Desta forma conseguiremos calcular o adjunta da transformação da base do braço em relação ao efetuador da mesa $Ad_{T_{ab}^{de}}$ sabendo que:

$$Ad_T = \begin{bmatrix} R & 0 \\ \hat{p}R & R \end{bmatrix} \quad (9)$$

Desta forma, usando 8 para calcular o adjunto de T_{ab}^{de} e aplica-lo na equação 3 junto de



6, teremos:

$$V_t^{de} = Ad_{(T_{tb}^{ab}T_{de}^{tb})^{-1}} J_t^{ab} \dot{\theta}_{braço} - Ad_{(T_{de}^{tb})^{-1}} J_{de}^{tb} \dot{\theta}_{mesa} \quad (10)$$

Que pode ser escrito como:

$$V_t^{de} = \begin{bmatrix} Ad_{(T_{tb}^{ab}T_{de}^{tb})^{-1}} J_t^{ab} & -Ad_{(T_{de}^{tb})^{-1}} J_{de}^{tb} \end{bmatrix} \begin{bmatrix} \dot{\theta}_{braço} \\ \dot{\theta}_{mesa} \end{bmatrix} \quad (11)$$

Sendo assim, temos que:

$$J_t^{de} = \begin{bmatrix} Ad_{(T_{tb}^{ab}T_{de}^{tb})^{-1}} J_t^{ab} & -Ad_{(T_{de}^{tb})^{-1}} J_{de}^{tb} \end{bmatrix} \quad (12)$$

7.1 Implementação em Código

Acrescentando as linhas de código a seguir ao código apresentado na seção 6.1

```

1 % Transformação Efetuador da Mesa -> Base da mesa
2 Rtb_de = Ttb_de.R;
3 ptb_de = Ttb_de.t;
4
5 Ttb_de_inv = [Rtb_de.' -Rtb_de.'*ptb_de;
6             0 0 0  1];
7
8 % Adjunto da transformação Efetuador da Mesa -> Base do Braço
9 Rab_de_inv = SE3(Tab_de_inv).R;
10 pab_de_inv = SE3(Tab_de_inv).t;
11
12 Ad_de_ab = [Rab_de_inv zeros(3,3);
13             skew(ptb_de)*Rab_de_inv Rab_de_inv];
14
15 % Adjunto da transformação Efetuador da Mesa -> Base da Mesa
16 Rtb_de_inv = SE3(Ttb_de_inv).R;
17 ptb_de_inv = SE3(Ttb_de_inv).t;
18
19 Ad_de_tb = [Rtb_de_inv zeros(3,3);
20             skew(ptb_de)*Rtb_de_inv Rtb_de_inv];
21

```



```

22 % Volta a base de KR30 para a base do braço
23 KR30.base = (transl(0.0, 0.0, 0.0) * trotx(pi));
24
25 Jab_t = KR30.jacob0(theta_braço);
26 Jtb_de = DKP400.jacob0(theta_mesa);
27
28 Jde_t = [Ad_de_ab*Jab_t -Ad_de_tb*Jtb_de];

```

Usando $\theta_{braço} = [0 \ 0 \ 0 \ 0 \ 0 \ 0]$ e $\theta_{mesa} = [0 \ 0]$. Teremos o seguinte jacobiano:

$$J_t^{de} = \begin{bmatrix} 0.3161 & -0.1609 & 0.4005 & -0.3335 & -0.4693 & -0.0004 & -0.0000 & 0 \\ -0.6647 & 0.3874 & 0.5110 & -0.2922 & 0.3697 & 0.0000 & -0.4470 & 0 \\ -0.6647 & -0.6176 & 0.0618 & 0.1960 & -0.2480 & -0.0000 & -0.0000 & 0 \\ 0.7592 & -0.8359 & -1.1528 & -0.3645 & 0.4612 & -0.0000 & 1.3693 & 0 \\ 0.9682 & 0.3642 & 0.8280 & -0.2163 & 0.2146 & 0.5573 & -0.0000 & 0 \\ -0.6072 & 0.4463 & 0.6237 & -0.9425 & -0.5529 & 0.8300 & -0.0000 & -1.0000 \end{bmatrix}$$



8 Validação do Jacobiano

Para validar o Jacobiano iremos comparar o resultado ao aplicarmos uma velocidade $\dot{\theta} = 0.01\text{rad/s}$ arbitaria com a velocidade calculada a partir das transformação homogênea, vinda do modelo apresentado na seção 6.1, ao aplicarmos θ_i e θ_f , sendo $\theta_i = \theta_{waypoint1}$ e $\theta_f = \theta_{waypoint1} + \Delta t \cdot \dot{\theta}$, para $\Delta t = 0.01\text{s}$.

Os resultados obtidos das velocidades lineares (em m/s) e angulares (em rad/s), para os métodos do jacobiano e das transformações, e o erro entre elas (*Erro = Transformações – Jacobiano*), foram:

	Jacobião	Transformações	Erro
\dot{x}	-0.0025	-0.0025	0.0
\dot{y}	0.0031	0.0031	0.0
\dot{z}	-0.0127	-0.0127	0.0
$\dot{\phi}$	-0.0113	-0.0128	-0.0015
$\dot{\theta}$	0.0272	0.0297	0.0026
$\dot{\psi}$	-0.0020	-0.0011	0.0009

Tabela 10: Velocidades pelo método do Jacobiano e pelo método das Transformações

8.1 Código usando para cálculo das velocidades pelo método das Transformações

Para calcularmos as velocidades pelo método das transformações, acrescentamos as linhas de código a seguir ao código da seção 6.1.

```

1 % Volta a base de KR30 para o Efetuador da Mesa
2 KR30.base = Tab_de_inv * (transl(0.0, 0.0, 0.0) * trotx(pi));
3
4 T1 = KR30.fkine(q1);
5 T2 = KR30.fkine(q1 + 0.001*dq(1:6));
6
7 delta = tr2delta(T1, T2); % Retorna [dx dy dz ux wy wz] já escalonado
8 d_real = delta / 0.001;
9
10 % Adjunto da transformação Efetuador da Mesa -> Base da Mesa
11 R = T1.R;
```



```
12 p = T1.t;  
13  
14 Ad_T1 = [R zeros(3,3);  
15 skew(p)*R R];  
16  
17 d_real_spatial = Ad_T1 * d_real;
```



9 Controle Cinemático

Para o controle cinemático, geremos a trajetória que passa por cada um dos waypoints estabelecidos na tabela 6 seguindo um perfil trapezoidal, com: $\dot{x}_c = 0.02m/s$, $\ddot{x}_c = 0.1m/s^2$ e $t_c = 0.2s$. Após isso, convertemos essa trajetória para o espaço das juntas.

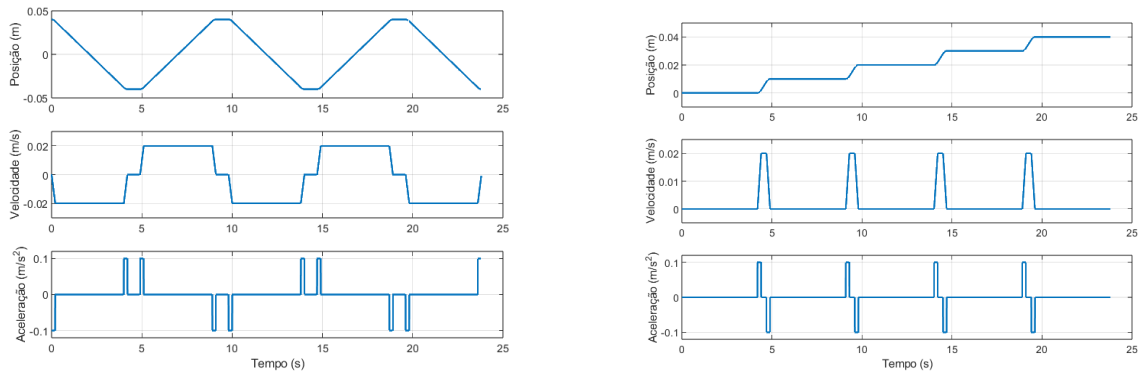


Figura 6: Trajetórias no Espaço Operacional

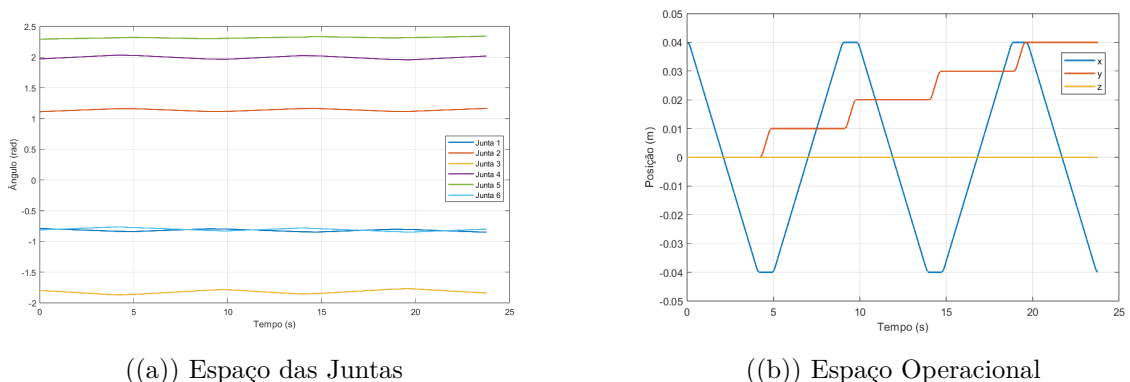
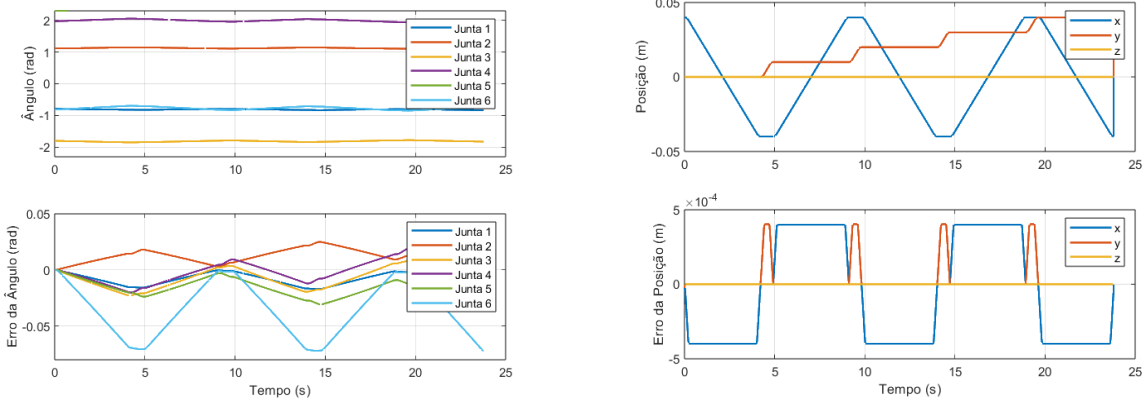


Figura 7: Trajetórias

9.1 Controlador sem FeedForward

Para o caso do primeiro controlador, temos que $u = J(\theta)^{-1}K(x_d - x)$. Após algumas simulações para diferentes valores de K , optamos por adotar $K = 50$, pois mantém o erro dentro da escala de $10^{-4}m$ e mantém a velocidade das juntas abaixo de $0.1rad/s$.



((a)) Espaço das Juntas

((b)) Espaço Operacional

Figura 8: Resultado para Controlador sem FeedForward

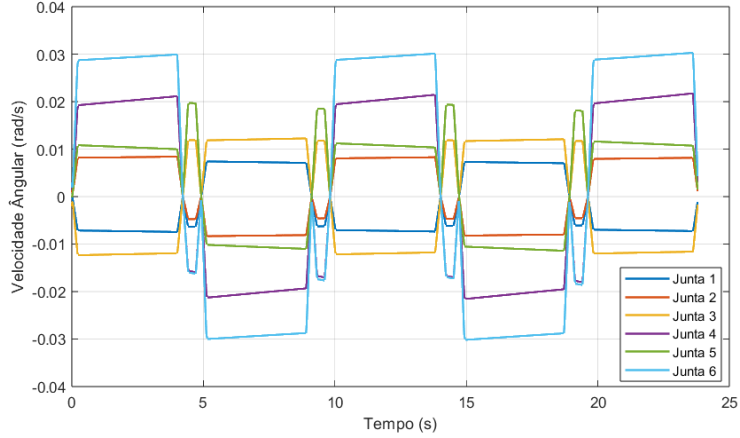


Figura 9: Velocidade das Juntas sem FeedForward

9.2 Controlador com FeedForward

Para o caso do segundo controlador, temos que $u = J(\theta)^{-1}[x_d + K(x_d - x)]$. Após algumas simulações para diferentes valores de K , optamos por adotar $K = 1$, pois mantém o erro dentro da escala de $10^{-4}m$ e mantém a velocidade das juntas abaixo de $0.1rad/s$.

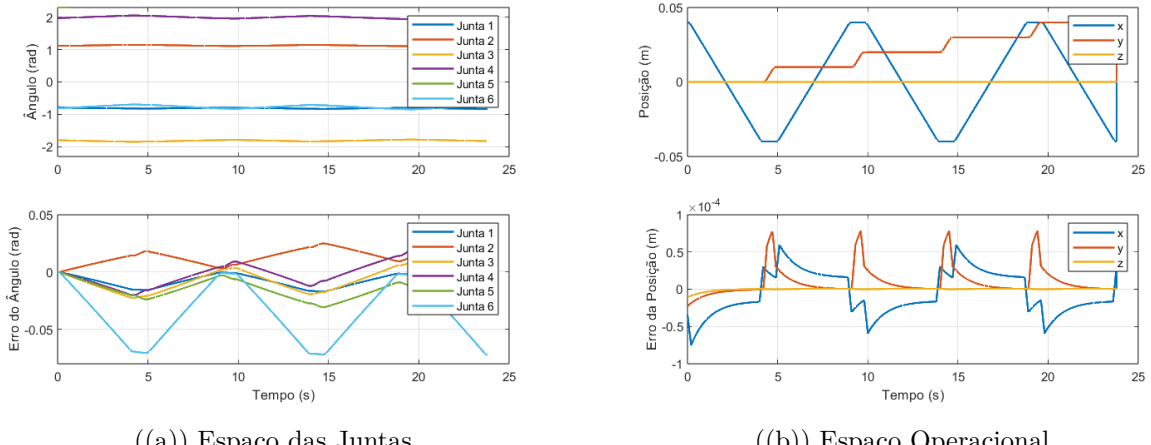


Figura 10: Resultado para Controlador com FeedForward

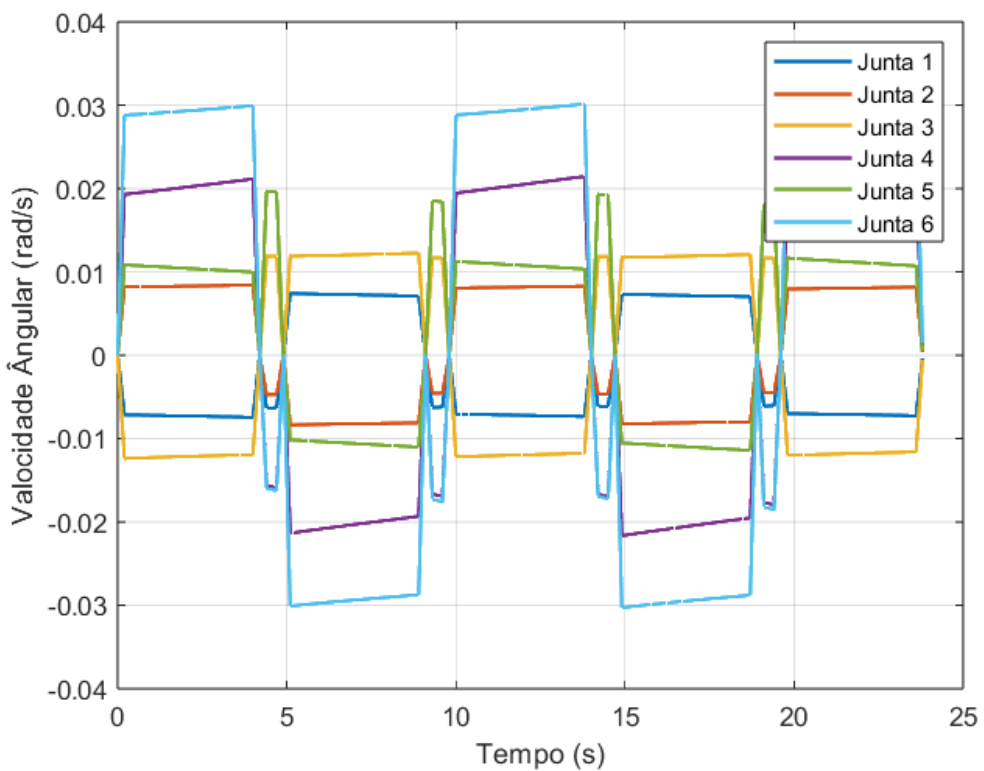


Figura 11: Velocidade das Juntas com FeedForward



9.3 Conclusão

Após a analise dos resultados obtidos anteriormente, notamos que, os dois controladores se mostraram capazes de estabilizar o movimento do manipulador, mesmo para um ganho pequeno no controlador sem feedforward. Porém, em uma comparação entre os dois controladores, o controlador que faz uso do feedforward se mostrou ter um desempenho melhor, visto que, para valores semelhantes de erro, o controlador com feedforward precisou de um ganho cerca de cincuenta vezes menor do que o controlador sem feedforward.

9.4 Códigos para o Controle Cinemático

9.4.1 Cálculo das Trajetórias

```
1 clear; clc; close all;
2
3 %=====
4 % Configuração do Manipulador
5 %=====
6 % Definição dos elos da mesa (DH Standard)
7 Lt(1) = Link('d', 0, 'a', 0, 'alpha', pi/2, 'offset', -pi/2);
8 Lt(2) = Link('d', 0, 'a', 0, 'alpha', 0, 'offset', 0);
9
10 % Criação da mesa
11 DKP400 = SerialLink(Lt, 'name', 'DKP400');
12
13 % Transformação Base -> Frame 0
14 DKP400.base = transl(0.0, 0.0, 0.51) * trotz(pi/2);
15
16 % Transformação Elo final -> Efetuador
17 DKP400.tool = transl(0, 0, 0.447) * trotz(-pi/2);
18
19 % Configuração das juntas da mesa
20 theta_t = [pi/4 0];
21
22 Ttb_de = DKP400.fkine(theta_t);
23
24 % Transformação Base do Braço -> Base da Mesa
```



```
25 Tat = transl(0.9, 0, -0.48) * trotz(pi);
26 Tat = SE3(Tat);
27
28 % Transformação Base do Braço -> Efetuador da Mesa
29 Tab_de = Tat * Ttb_de;
30
31 % Transformação Efetuador da Mesa -> Base do Braço
32 Rab_de = Tab_de.R;
33 pab_de = Tab_de.t;
34
35 Tab_de_inv = [Rab_de.' -Rab_de.'*pab_de;
36             0 0 0  1];
37
38 % Definição dos elos do braço (DH clássico)
39 La(1) = Link('d', -0.575, 'a', 0.175, 'alpha', pi/2, 'offset', 0);
40 La(2) = Link('d', 0, 'a', 0.89, 'alpha', 0, 'offset', 0);
41 La(3) = Link('d', 0, 'a', 0.05, 'alpha', pi/2, 'offset', -pi/2);
42 La(4) = Link('d', -1.035, 'a', 0, 'alpha', -pi/2, 'offset', 0);
43 La(5) = Link('d', 0, 'a', 0, 'alpha', pi/2, 'offset', 0);
44 La(6) = Link('d', -0.646339, 'a', 0, 'alpha', -deg2rad(33.89), 'offset', -pi/2);
45
46 % Criação do braço
47 KR30 = SerialLink(La, 'name', 'KR30');
48
49 % Transformação Efetuador da Mesa -> Frame 0
50 KR30.base = Tab_de_inv * (transl(0.0, 0.0, 0.0) * trotx(pi));
51
52 % Transformação Elo final -> Efetuador
53 KR30.tool = transl(0, 0, -0.000648) * (trotx(-pi)*trotz(pi/2));
54
55 %=====
56 % Geração da Trajetória no Espaço Operacional
57 %=====
58 p = [ 0.04 0 0;
59       -0.04 0 0;
60       -0.04 0.01 0;
61       0.04 0.01 0;
```



```
62      0.04 0.02 0;
63      -0.04 0.02 0;
64      -0.04 0.03 0;
65      0.04 0.03 0;
66      0.04 0.04 0;
67      -0.04 0.04 0 ];
68
69 dxc = 0.02; ddxc = 0.1; tc = 0.2;
70
71 pps = 200;
72 tt = 0;
73
74 xd = [0 0 0];
75 dxd = [0 0 0];
76 ddxd = [0 0 0];
77
78 for i = 1:size(p,1)-1
    % Parâmetros
79     q0 = p(i,:);
80     qf = p(i+1,:);
81
82     dq = norm(qf - q0);
83     tf = tc + dq/dxc;
84
85     t = linspace(0, tf, tf*pps);
86
87     q    = zeros(length(t), length(q0));
88     qd   = zeros(length(t), length(q0));
89     qdd = zeros(length(t), length(q0));
90
91     for k = 1:length(t)
92         if t(k) < tc
93             % Fase 1: aceleração
94                 q(k,:) = q0 + sign(qf - q0) * 0.5*ddxc*t(k)^2;
95                 qd(k,:) = sign(qf - q0) * ddxc*t(k);
96                 qdd(k,:) = sign(qf - q0) * ddxc;
97
98
```



```
99     elseif t(k) < tf-tc
100         % Fase 2: velocidade constante
101         q(k,:) = q0 + sign(qf - q0) * (0.5*ddxc*tc^2 + dxc*(t(k)-tc));
102         qd(k,:) = sign(qf - q0) * dxc;
103         qdd(k,:) = 0;
104
105     else
106         % Fase 3: desaceleração
107         q(k,:) = qf - sign(qf - q0) * 0.5*ddxc*(tf - t(k))^2;
108         qd(k,:) = sign(qf - q0) * ddxc*(tf - t(k));
109         qdd(k,:) = -sign(qf - q0) * ddxc;
110     end
111 end
112
113 tt = tt + tf;
114 xd = [xd; q];
115 dxd = [ddxd; qd];
116 ddxdd = [ddxdd; qdd];
117
118 end
119
120 xd = xd(2:end-1, :);
121 dxd = dxd(2:end-1, :);
122 ddxdd = ddxdd(2:end-1, :);
123
124 tn = linspace(0, tt, tt*pps);
125
126 %=====
127 % Trajetória no Espaço das Juntas
128 %=====
129 R = trotz(pi/2) * trotx(pi);
130 Td = zeros(4, 4, length(tn));
131
132 for i = 1:length(tn)
133     Td(:,:,i) = transl(xd(i,:)) * R;
134 end
135
```



```
136 mask = [1 1 1 1 1 1];
137
138 tol = 1e-6;
139
140 lambda = 1;
141
142 thetad_sol = zeros(length(tn), 6);
143
144 % posição inicial
145 thetad0 = [-0.7911 1.1134 -1.7997 1.9726 2.2941 -0.8118];
146
147 for i = 1:length(tn)
148     thetad = KR30.ikine(Td(:,:,i), thetad0, 'mask', mask, 'tol', tol, 'lambda', lambda);
149
150     thetad_sol(i,:) = thetad;
151
152     thetad0 = thetad;
153 end
```

9.4.2 Controlador

```
1 %=====
2 % Controle Cinemático
3 %=====
4 % Parâmetros
5 theta0 = [-0.7911 1.1134 -1.7997 1.9726 2.2941 -0.8118];
6 theta = zeros(length(tn), length(theta0));
7 dtheta = zeros(length(tn), length(theta0));
8 x = zeros(length(tn), 3);
9 e = zeros(length(tn), 3);
10 Ksf = 50;
11 Kcf = 1;
12 dt = tn(2) - tn(1);
13
14 for i = 1:length(tn)-1
15     if i == 1
16         theta(i,:) = theta0;
```



```
17 end
18
19 % Coletanto os valores de x(t)
20 % Volta a base de KR30 para o Efetuador da Mesa
21 KR30.base = Tab_de_inv * (transl(0.0, 0.0, 0.0) * trotx(pi));
22 T = KR30.fkine(theta(i,:));
23 x(i,:) = T.t';
24
25 % Calculando o Jacobiano do Efetuador do Braço em relação ao Efetuador da Mesa
26 % Volta a base de KR30 para a base do braço
27 KR30.base = (transl(0.0, 0.0, 0.0) * trotx(pi));
28
29 Jab_t = KR30.jacob0(theta(i,:));
30
31 J = Ad_de_ab*Jab_t;
32
33 % Controle
34 e(i,:) = xd(i,:) - x(i,:);
35 % Caso 1: sem feedfoward
36 usf = J \ (Ksf * [e(i,:) zeros(1,3)].');
37 % Caso 1: com feedfoward
38 ucf = J \ ([dxd(i,:) zeros(1,3)].' + Kcf * [e(i,:) zeros(1,3)].');
39
40 dtheta(i,:) = ucf.';
41 theta(i+1,:) = theta(i,:) + dtheta(i,:)* dt;
42 end
43
44 dtheta(end,:) = dtheta(end-1,:);
```